

ОБ УСТОЙЧИВОСТИ НЕИЗОТЕРМИЧЕСКОГО ТЕЧЕНИЯ ПЛАЗМЫ  
В ПЛОСКОМ МГД-КАНАЛЕ

Ю. В. Саночкин

(Москва)

Вопросам устойчивости ламинарного течения проводящей жидкости в поперечном магнитном поле — течения Гартмана — посвящены работы [1, 2]. Однако в этих статьях предполагалось, что коэффициенты переноса являются величинами, не зависящими от характеристик потока, в частности от температуры, и не учитывалось влияние диссипации энергии. Учет указанных обстоятельств приводит к тому, что даже при относительно небольших дозвуковых скоростях движения, когда среду можно рассматривать как несжимаемую, распределение температуры оказывает большое влияние на динамические характеристики потока. Такие течения в плоском МГД-канале, которые в дальнейшем будут называться неизотермическими, рассмотрены в работах [3, 4]. Было показано, что при определенных условиях профили скорости сильно деформируются, возможно даже появление немонотонных профилей с точками перегиба.

Однако влияние неизотермичности течения на устойчивость не ограничивается изменением критериев устойчивости вследствие изменения профиля скорости. Учет диссипации энергии и непостоянства коэффициентов переноса приводит к появлению новых «диссипативных» ветвей неустойчивости, таких, как например, перегревная [5-8].

В дальнейшем рассматривается задача о гидродинамической устойчивости неизотермического потока плазмы в скрещенных постоянных электрическом и магнитном полях в плоском канале, ограниченном диэлектрическими стенками. Полученная в работе система уравнений для возмущений, разумеется, учитывает все указанные выше механизмы неустойчивости, однако ее решение представляется затруднительным. Общую систему уравнений удастся исследовать в двух предельных случаях, соответствующих перегривной и гидродинамической неустойчивостям.

**1. Исходное стационарное состояние.** Пусть ось  $x$  направлена по потоку, ось  $y$  — вдоль внешнего магнитного поля  $B_0$  и ось  $z$  — вдоль постоянного электрического поля  $E$ . Канал ограничен диэлектрическими стенками  $y = \pm l$ , расстояние между электродами по  $z$  и длина канала по  $x$  предполагаются достаточно большими. Предполагается также, что  $\omega_e \tau_e \ll \ll 1$ , т. е. применима скалярная магнитная гидродинамика. Зависимость коэффициентов переноса от температуры аппроксимируется степенными формулами

$$\sigma = \sigma_0 \left(\frac{T}{T_0}\right)^\alpha, \quad \kappa = \kappa_0 \left(\frac{T}{T_0}\right)^\beta, \quad \eta = \eta_0 \left(\frac{T}{T_0}\right)^\gamma, \quad (\alpha, \beta, \gamma - \text{const}) \quad (1.1)$$

что можно сделать при монотонной зависимости этих параметров от температуры среды и ограниченном изменении температуры в пределах МГД-канала. Считая все величины зависящими только от  $y$ , приходим к следующей системе уравнений, описывающих исходное стационарное состояние:

$$\begin{aligned} p + \frac{d}{dy} \left( \eta \frac{dU}{dy} \right) - j B_0 - \vartheta, & \quad \frac{dB_x}{dy} = -\mu j \\ \frac{d}{dy} \left( \kappa \frac{dT}{dy} \right) + \eta \left( \frac{dU}{dy} \right)^2 + \frac{j^2}{\sigma} = 0, & \quad j = \sigma (E + UB_0) \end{aligned} \quad (1.2)$$

которую следует решать с граничными условиями

$$U(\pm l) = 0, \quad T(\pm l) = T_0 \quad (1.3)$$

Решение системы уравнений (1.1) — (1.3) возможно в общем случае лишь численными методами. Оно было проведено в работе [4], результаты которой в дальнейшем будут использоваться. Не имея возможности подробно обсуждать свойства стационарного решения, заметим лишь, что была выбрана простейшая постановка задачи, когда тепло, диссипируемое в канале, отводится через стенки, поддерживаемые в одинаковых условиях. Решение стационарной задачи для  $U$ ,  $T$  и  $j$  зависит от шести безразмерных параметров:  $\alpha$ ,  $\beta$ ,  $\gamma$ ,  $K$ ,  $M$ ,  $N$ , т. е. имеет вид

$$U = U(y; \alpha, \beta, \gamma, K, M, N) \quad \left( M = B_0 l \sqrt{\frac{\sigma_0}{\eta_0}}, K = -\frac{E\eta_0}{i^2 \rho B_0}, N = \frac{l^4 p^2}{\kappa_0 \eta_0 T_0} \right)$$

Здесь  $M$  — число Гартмана,  $K$  — безразмерное электрическое поле,  $N$  — тепловой параметр. Индуцированное магнитное поле  $B_x$ , кроме этих параметров, зависит также от магнитного числа Рейнольдса  $R_m$ .

**2. Линеаризованные уравнения для малых возмущений.** В гидродинамике, согласно теореме Сквайра [9], обычно ограничиваются рассмотрением двумерных возмущений, определяющих наименьшее значение критического числа Рейнольдса. Хотя в магнитной гидродинамике теорема Сквайра доказана лишь для течений в продольном магнитном поле [10], по соображениям простоты будет рассмотрен также лишь этот случай.

Получение уравнений для возмущений состоит в обычном процессе линеаризации общих уравнений магнитной гидродинамики около стационарного состояния, описываемого уравнениями (1.2). Удобно ввести функции тока для возмущений скорости и магнитного поля

$$u' = \frac{\partial \psi}{\partial y}, \quad v' = -\frac{\partial \psi}{\partial x}, \quad B_x' = \frac{\partial \Phi}{\partial y}, \quad B_y' = -\frac{\partial \Phi}{\partial x} \quad (2.1)$$

и величину  $\Theta = T'/T$  вместо возмущения температуры  $T'$ . В результате получим систему линеаризованных уравнений в безразмерном виде

$$\left( \frac{\partial}{\partial t} + U \frac{\partial}{\partial x} \right) \Delta \psi - U'' \frac{\partial \psi}{\partial x} = \frac{1}{R} \left[ \eta \Delta \Delta \psi + 2\eta' \Delta \frac{\partial \psi}{\partial y} + \eta'' \left( \frac{\partial^2 \psi}{\partial y^2} - \frac{\partial^2 \psi}{\partial x^2} \right) \right] + A \left[ (\mathbf{B} \nabla) \Delta \Phi - B_x'' \frac{\partial \Phi}{\partial x} \right] + \frac{\gamma}{R} \left( \frac{\partial^2}{\partial y^2} - \frac{\partial^2}{\partial x^2} \right) (\eta U' \Theta) \quad (2.2)$$

$$\left( \frac{\partial}{\partial t} + U \frac{\partial}{\partial x} \right) \Delta \Phi - (\mathbf{B} \nabla) \psi = \frac{1}{R_m} \frac{1}{\sigma} \Delta \Phi - \frac{\alpha}{R_m} \frac{B_x'}{\sigma} \Theta \quad (2.3)$$

$$\left( \frac{\partial}{\partial t} + U \frac{\partial}{\partial x} \right) \Theta - (\ln T)' \frac{\partial \psi}{\partial x} = \frac{1}{RP} \left[ \kappa \Delta \Theta + 2(1 + \beta) \kappa (\ln T)' \frac{\partial \Theta}{\partial y} \right] + \frac{N}{P} \left[ (\gamma - \beta - 1) \frac{1}{R} \frac{\eta U'^2}{T} - (\alpha + \beta + 1) \frac{A}{R_m} \frac{B_x'^2}{\sigma T} \right] \Theta + 2 \frac{N}{PR} \frac{\eta U'^2}{T} \left( \frac{\partial^2 \psi}{\partial y^2} - \frac{\partial^2 \psi}{\partial x^2} \right) + 2 \frac{NA}{PR_m} \frac{B_x'}{\sigma T} \Delta \Phi \quad (2.4)$$

$$\left( R = \frac{\rho l v^*}{\eta_0}, A = \frac{B_0^2}{\mu \rho v^{*2}}, R_m = \mu \sigma_0 l v^*, P = \frac{\eta_0 c_p}{\kappa_0} \right)$$

Здесь  $R$  — число Рейнольдса,  $A$  — число Альфвена,  $R_m$  — магнитное число Рейнольдса,  $P$  — число Прандтля,  $U$  — скорость невозмущенного потока,  $\mathbf{B}$  — невозмущенное магнитное поле,  $T$  — невозмущенная температура;  $\sigma$ ,  $\kappa$ ,  $\eta$  — проводимость, теплопроводность и вязкость в невозмущенном потоке; штрихи — дифференцирование по  $y$ .

Как обычно, решение системы ищется в виде

$$\psi = \psi(y) \exp ik(x - ct) \quad (2.5)$$

где  $k$  — безразмерное волновое число,  $kc$  — безразмерная частота колебаний. Уравнения (2.2) — (2.4) необходимо решать при следующих очевидных условиях:

$$\psi(\pm 1) = \psi'(\pm 1) = 0, \quad \Theta(\pm 1) = 0 \quad (2.6)$$

Граничные условия для магнитного поля в случае непроводящих стенок имеют вид

$$(\varphi'/\varphi)_{\pm 1} = \mp k \quad (2.7)$$

Если система (2.2) — (2.4) не распадается, имеет место одновременное влияние на устойчивость гидродинамических, электродинамических и тепловых эффектов.

**3. Перегревная неустойчивость.** Рассмотрим прежде всего случай, когда  $S \ll R_m$ , где  $S = M^2/R$  — параметр гидромагнитного взаимодействия. В этом случае, очевидно, возмущения поля, обусловленные движением среды, могут превосходить возмущения скорости за счет поля. В пределе  $A \rightarrow 0$  при  $\gamma = 0$  можно представить ситуацию, когда возмущения скорости также стремятся к нулю, и членами, содержащими  $\psi$ , в уравнениях (2.3, 4) можно пренебречь. Если предположить еще, что  $R_m \ll 1$ , то из (2.3) находим

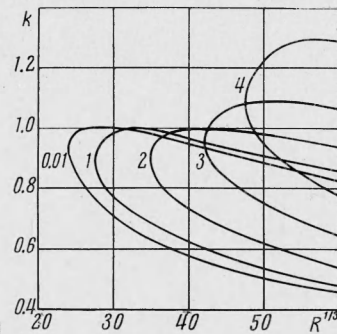
$$\Delta\varphi = \alpha B_x' \Theta \quad (3.1)$$

Используя (2.4), (2.5) и (3.1) и пренебрегая для упрощения записи вязкой диссипацией и непостоянством  $\kappa$ , после формальных преобразований получаем

$$\Theta'' + (E - V)\Theta = 0 \quad (3.2)$$

$$E = -k^2 + ikcRP$$

$$V = -\alpha\Pi \frac{j^2}{\sigma T} + ikURP \quad \left(\Pi = \frac{j^{*2}l^2}{\sigma_0 \kappa_0 T_0}\right)$$



Фиг. 1

Таким образом, задача сведена к задаче на собственные значения для уравнения Шредингера с комплексным потенциалом  $V$ . Если исходное стационарное состояние является симметричным по  $y$ , то нетрудно убедиться, что  $\text{Re} V$  — «потенциальная яма», а  $\text{Im} V$  имеет вид горба. Можно разложить потенциал в ряд, тогда вблизи оси канала получаем уравнение Шредингера для гармонического осциллятора. Убедившись таким образом в существовании финитных решений [1], можно применить для исследования (3.2) простые приближенные способы. В квазиклассическом приближении, например, заменяя  $d/du$  на  $ik_y$ , сразу находим критерий устойчивости (в размерном виде)

$$\kappa_0 k^2 > \frac{d \ln \sigma}{d \ln T} \frac{j^2}{\sigma T} \quad (3.3)$$

Формула (3.3) для общего случая была получена ранее в работе [7], однако в ней не был рассмотрен вопрос о существовании финитных решений. Наличие множителя  $\alpha$  в неравенстве (3.3) позволяет назвать неустойчивость перегревной [5, 7]. Для простоты ограничимся рассмотрением случая  $S \ll R_m \ll 1$  в квазиклассическом приближении. Можно провести аналогичный анализ, отказавшись от последнего ограничения.

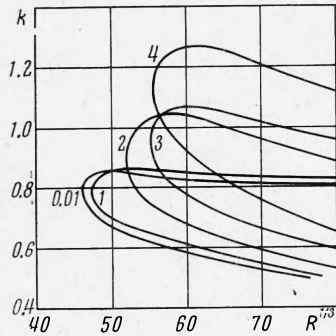
**4. Гидродинамическая неустойчивость.** Рассмотрим теперь другой предельный случай, когда неустойчивость обусловлена чисто гидродинамическим механизмом раскручивания вихря градиентом скорости. Как известно, гидродинамическая неустойчивость наступает при достаточно больших числах  $R$ . Поэтому можно пренебречь малыми членами в правой части (2.2), сохранив, разумеется, старшую производную. Ограничимся далее случаем  $R_m \ll 1$ , когда можно пренебречь членами, содержащими  $B_x$ , по сравнению с  $B_0$ . Из уравнения (2.3) находим

$$\varphi'' - k^2\varphi = -R_m \sigma\varphi' + \alpha B_x' \Theta \quad (4.1)$$

Если параметр гидромагнитного взаимодействия  $S \ll 1$ , т. е. число Гартмана не очень велико, то исключая при помощи (4.1)  $\varphi$  из (2.2) и пренебрегая малыми членами, окончательно приходим к задаче на собственные значения для уравнения типа Орра—Зоммерфельда

$$(U - c)(\psi'' - k^2\psi) - U''\psi = \frac{1}{ikR} \eta\psi^{IV} \quad (4.2)$$

с граничными условиями (2.6). Таким образом, при  $R_m \ll 1$ ,  $S \ll 1$ ,  $\alpha S < 1$  магнитное поле и неизотермичность течения влияют на устойчивость движения косвенно, изменяя профиль скорости и вводя профиль вязкости в уравнение (4.2). Для решения задачи воспользуемся известной схемой Гейзенберга — Линя [9]. Как обычно, ограничимся рассмотрением четных возмущений на полуширине  $(-1, 0)$  канала. С точностью до членов  $\sim (kR)^{-1}$  два частных решения можно получить из невязкого уравнения разложением по  $k^2$



Фиг. 2

$$\psi_1 = v \{h_0 + k^2 h_2(y) + k^4 h_4(y) + \dots\} \quad (4.3)$$

$$\psi_2 = v \{q_1(y) + k^2 q_3(y) + k^4 q_5(y) + \dots\}$$

$$(v = U - c)$$

$$h_0 = 1, \quad h_{2n+2} = \int_{-1}^y \frac{dy}{v^2} \int_{-1}^y h_{2n} v^2 dy \quad (n \geq 0)$$

$$q_1 = \int_{-1}^y \frac{dy}{v^2}, \quad q_{2n+1} = \int_{-1}^y \frac{dy}{v^2} \int_{-1}^y q_{2n-1} v^2 dy \quad (n \geq 1)$$

Два других фундаментальных решения находятся в сходящихся рядах из полного уравнения (4.2) и с точностью до членов  $\sim (kR)^{-1/3}$  имеют вид

$$\psi_3 = \int_{-\infty}^{\xi} \int_{-\infty}^{\xi} \chi^{1/2} H_{1/3}^{(1)} \left[ \frac{2}{3} (i\chi)^{3/2} \right] d\chi d\xi, \quad \psi_4 = \int_{-\infty}^{\xi} \int_{-\infty}^{\xi} \chi^{1/2} H_{1/3}^{(2)} \left[ \frac{2}{3} (i\chi)^{3/2} \right] d\chi d\xi$$

$$\xi = \left( \frac{U_c' k R}{\eta_c} \right)^{1/3} (y - y_c), \quad U_c' = U'(y_c), \quad \eta_c = \eta(y_c), \quad U_1' = U'(-1) \quad (4.4)$$

Здесь  $H_{1/3}^{(1,2)}$  — функции Ганкеля, а  $y_c$  определяется из уравнения  $U(y_c) = c$ . Зная фундаментальную систему решений (4.3), (4.4), нетрудно получить характеристическое уравнение для определения кривых нейтральных колебаний

$$F(z) = \frac{(1 + \lambda)g}{1 + \lambda g} \quad (g = u^\circ + iv^\circ) \quad (4.5)$$

где  $F(z)$  — комплексная табулированная функция [9],

$$z = \left( \frac{U_c' k R}{\eta_c} \right)^{1/3} (1 + y_c), \quad \lambda = (1 + y_c) \frac{U_1'}{c} - 1$$

$$u^\circ = 1 + U_1' c K_1 + \frac{U_1' c}{k^2} \frac{1 - k^2 N_2 - k^4 N_4 - \dots}{H_1 + k^2 H_3 + k^4 H_5 + \dots}$$

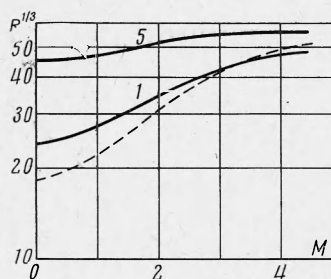
$$v^\circ = -\pi c U_1' \frac{U_c''}{U_c'}, \quad K_1 = \int_{-1}^0 \frac{dy}{v^2}, \quad H_1 = \int_{-1}^0 v^2 dy$$

$$N_2 = \int_{-1}^0 v^2 dy \int_y^0 \frac{dy}{v^2}, \quad H_3 = \int_{-1}^0 v^2 dy \int_{-1}^y v^{-2} dy \int_{-1}^y v^2 dy$$

и т. д. При расчетах удерживались члены  $\sim k^2$ , учет  $N_4$  и  $H_5$  дает уточнение в несколько процентов.

Уравнение (4.5) удобно для численного счета. Однако до проведения вычислений можно сделать качественные выводы из анализа профилей скорости. Как показано Локком [1], увеличение числа Гартмана  $M$  приводит к росту критического значения числа Рейнольдса  $R_*$ , т. е. стабилизации потока. Иными словами, монотонные, более наполненные профили скорости соответствуют более высоким значениям  $R_*$ . Поскольку в плазме проводимость растет с ростом температуры, то в центре потока, где температура выше, ponderomotorная сила увеличивается, что приводит к дополнительному уплотнению профиля скорости в случае неизотермического течения [4]. Поэтому можно ожидать увеличения величины  $R_*$ , причем этот эффект тем сильнее, чем больше показатель  $\alpha$  и ток, текущий через плазму.

На фиг. 1, 2 представлены кривые нейтральных колебаний для значений  $N = 1,5$  соответственно в случае полностью ионизованной плазмы ( $\alpha = 3/2$ ,  $\beta = \gamma = 5/2$ ). Цифры на кривых указывают значения  $M$ . Следует отметить, что при  $M > 5$  вычисления кривых применявшимся здесь способом нецелесообразно вследствие ухудшения сходимости разложений по  $k^2$ . Для сравнения с результатами работы [1], вычисления были проведены для режима течения с нулевым полным током. На фиг. 3 изображена



Фиг. 3

зависимость  $R_*^{1/3}$  от  $M$  для указанных тепловых режимов (пунктирная линия соответствует результатам [1]). Из сопоставления кривых следует вывод о дополнительной стабилизации потока вследствие неизотермических эффектов при  $M < 5$ , причем разница в значениях  $R_*$  уменьшается с ростом  $M$ . Это объясняется тем, что при заданном  $N$  с увеличением  $M$  отличие в профилях скорости для изотермического и неизотермического течений уменьшается [4]. Обращает на себя внимание также уменьшение скорости нарастания  $R_*$  в зависимости от  $M$  при увеличении  $N$ , так что возможно даже пересечение с кривой, соответствующей изотермическому случаю. Однако требуется специальное рассмотрение для определения критерия устойчивости при  $M > 5$ .

В заключение заметим, что в случае неизотермического течения жидкого металла поведение нейтральных кривых может существенно измениться, поскольку проводимость металла убывает с ростом температуры и неизотермические эффекты будут приводить к более вытянутым профилям скорости.

Автор глубоко благодарен В. Калитенко за программирование задачи и С. Филиппову за советы и обсуждения.

Поступила 18 IV 1966

#### ЛИТЕРАТУРА

1. L o c k R. C. The Stability of the Flow of an Electrically Conducting Fluid between Parallel Planes under a Transverse Magnetic Field. Proc. Roy. Soc. A, 1955, vol. 233, No. 1192.
2. Т в е р с к о й Б. А. Об устойчивости течения хорошо проводящей жидкости поперек магнитного поля. Докл. АН СССР, 1962, т. 143, No. 2.
3. Н е у в о о д J. В. An MHD Channel Flow with Temperature Dependent Electrical Conductivity. AIAA Journal, 1965, vol. 3, No. 9.
4. С а н о ч к и н Ю. В., Ф и л и п п о в С. С. Неизотермическое течение плазмы в плоском МГД-канале. ПМТФ 1966, № 6.
5. К а д о м ц е в Б. Б. Гидромагнитная устойчивость плазмы. Сб. «Вопросы теории плазмы», вып. 2, Госатомиздат, 1963.
6. W r i g h t J. K. A Temperature Instability in Magnetohydrodynamic Flow. Proc. Phys. Soc, 1963, vol. 81, pt. 3, No. 521.
7. С а н о ч к и н Ю. В. О диссипативной неустойчивости в магнитной гидродинамике. Магнитная гидродинамика, 1965, № 3.
8. С а н о ч к и н Ю. В. О перегретой неустойчивости плазмы. Ж. техн. физ. 1965, т. 35, № 6.
9. Л и н ь Ц з я - ц з я о. Теория гидродинамической устойчивости. Изд. иностр. лит., 1958.
10. M i c h a e l D. H. The Stability of the Plane-parallel Flow of an Electrically Conductive Fluid. Proc. Cambridge Philos. Soc. 1953, vol. 49 p. 1.
11. Г а л е е в А. А. Теория устойчивости неоднородной разреженной плазмы в сильном магнитном поле. Ж. Эксперим. и теор. физ., 1963, т. 44, № 6.